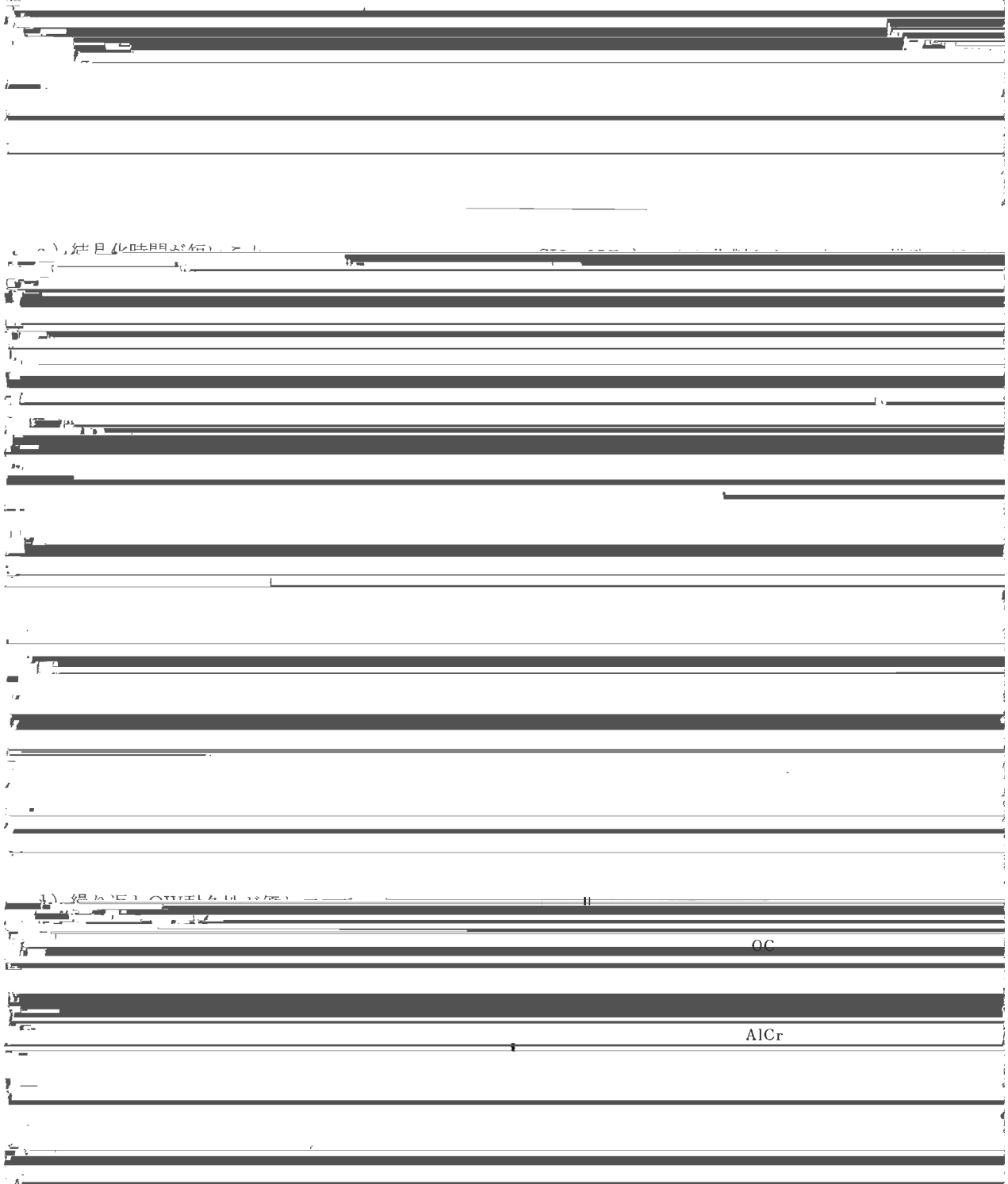


[Redacted text block]

稲生俊雄

[Redacted text block]

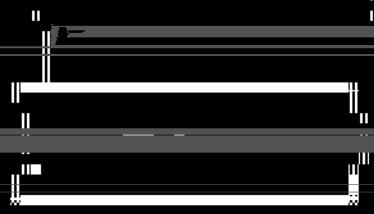




1) 德文 (German text)

OC

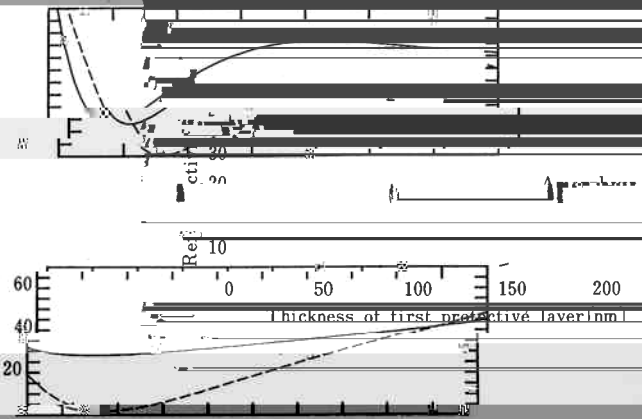
AlCr



m

Fig. 4

w



Copyright © 1995 TOSOH Chemical Industry Co., Ltd. All rights reserved.

Copyright © 1995 TOSOH Chemical Industry Co., Ltd. All rights reserved.

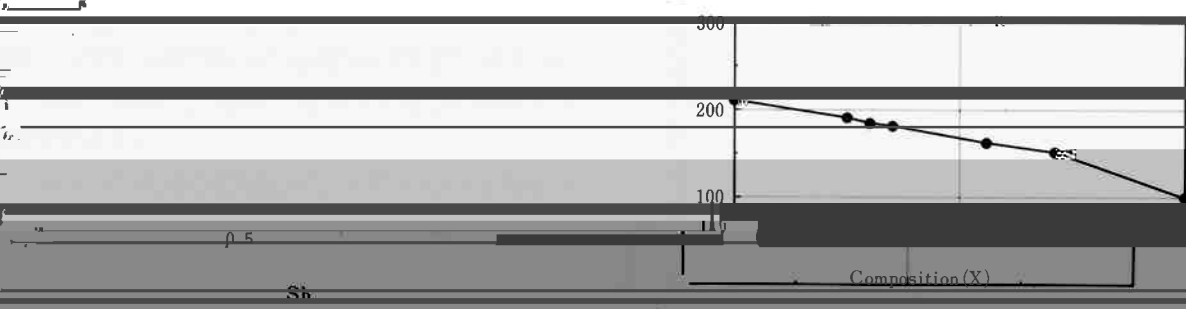
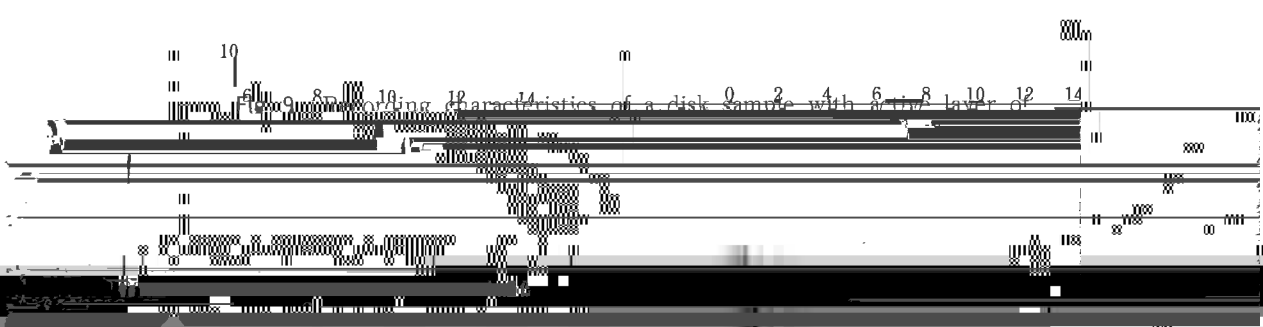
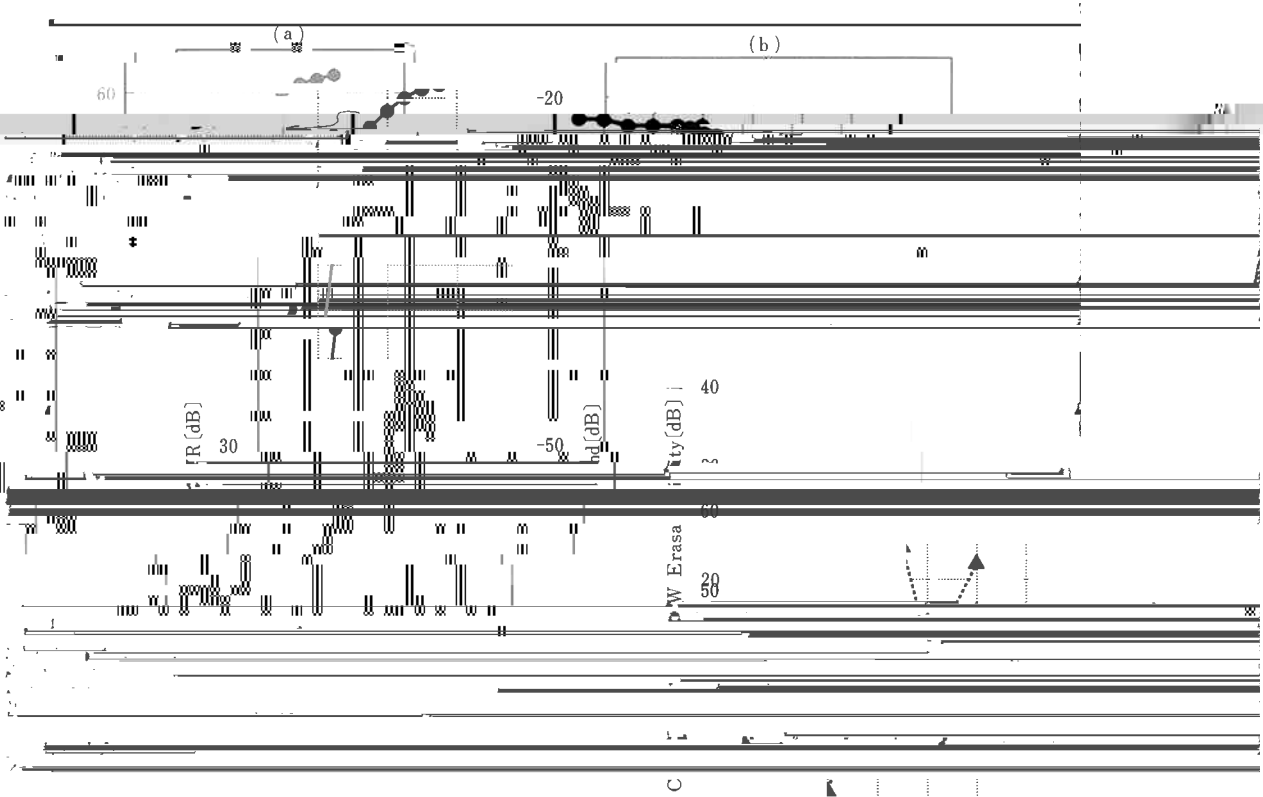


Fig. 7 Crystallization temperature of active layer



502102 / X=1.00

measured by DSC Temperature measurement



(A) Recording characteristics of a disk sample with 8 active layers (B) Dependence of CNR (●)



(a)

(b)

1E+06

1E+06

1E+04

1E+04

5

1E+02

1E+02

1E+01

1E+01

Thickness of First Protective

(c)

(d)

1E+06

1E+06

1E+05

1E+05

-5dB Point

-5dB Point

1E+03

1E+03

1E+02

1E+02

1E+01

1E+01

CNR



65

300

パワー=150、300、450W

ガス圧=0.20、0.40、0.60Pa

・記録層

パワー=100、500、1000W

NR 60

50

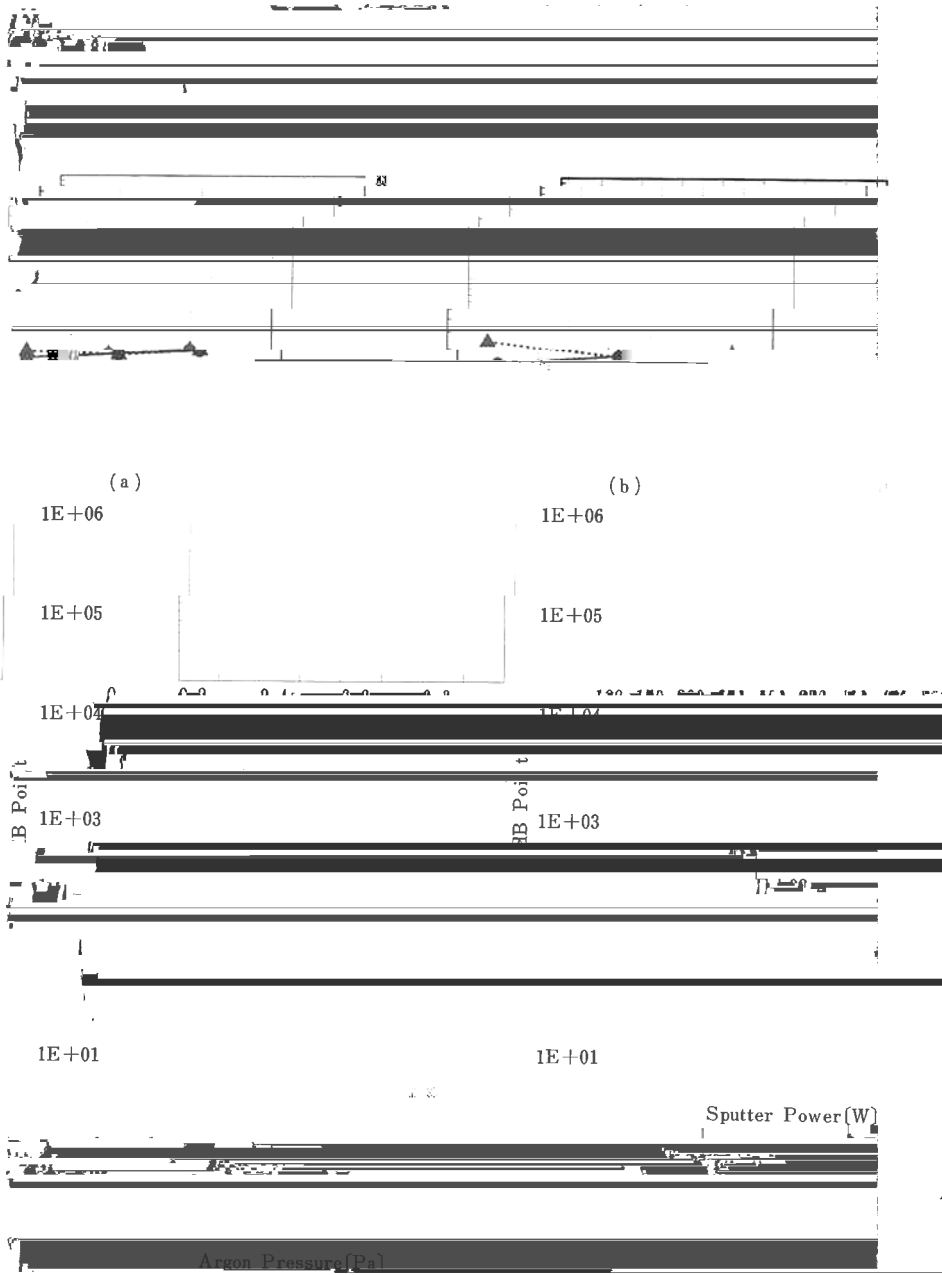


Fig. 16

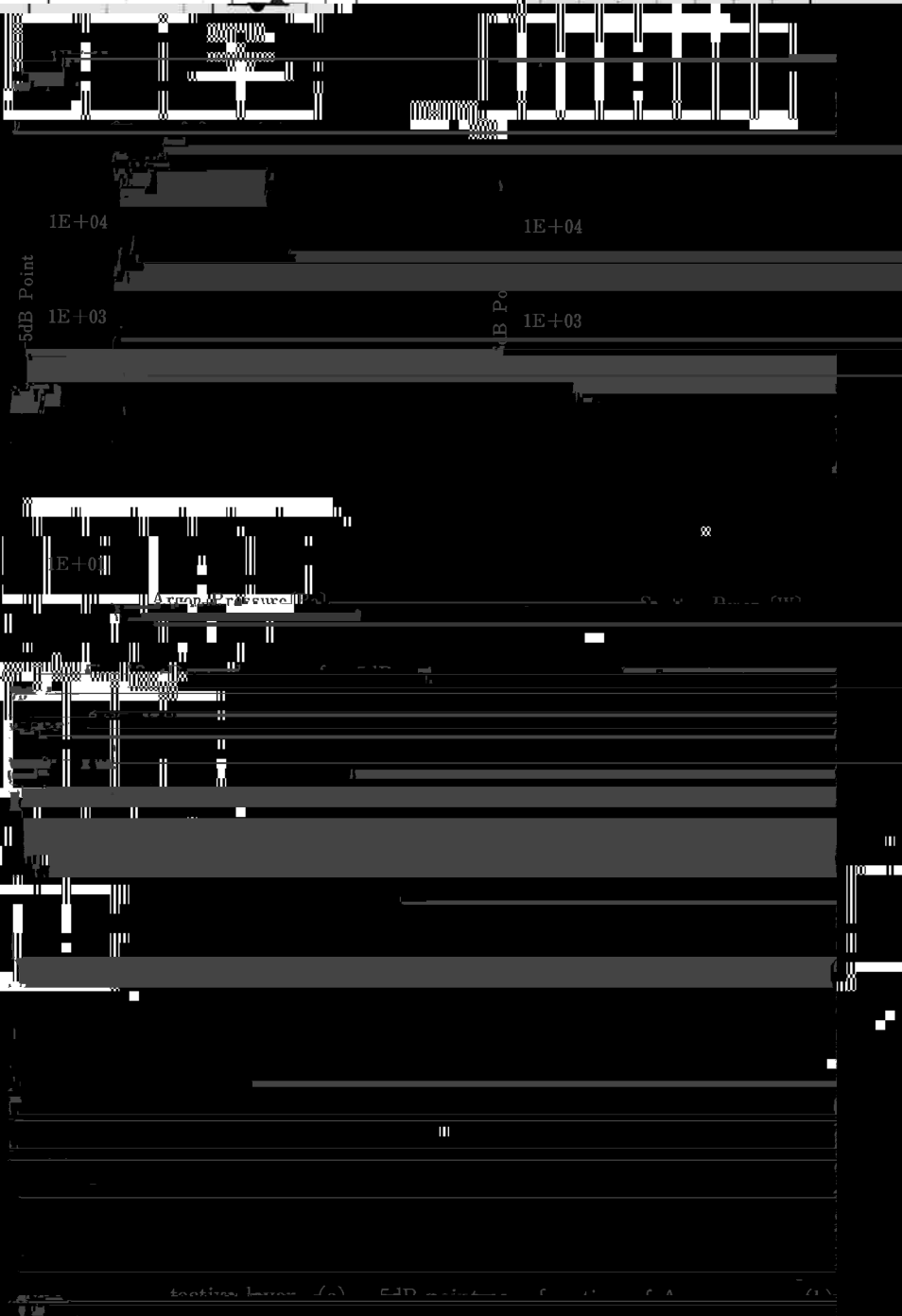
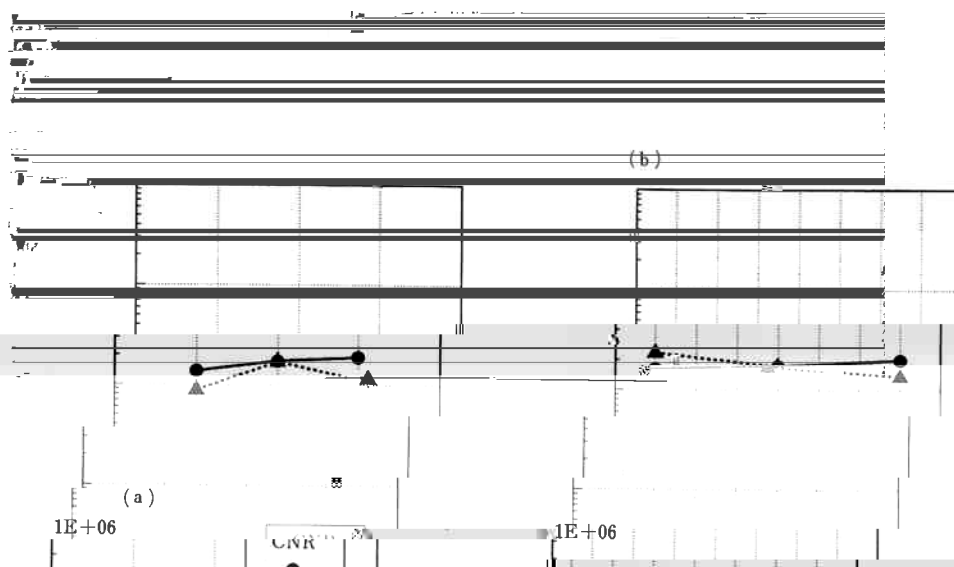


Figure 1. (a) 5dB Point, (b) B Point

9.2MHz

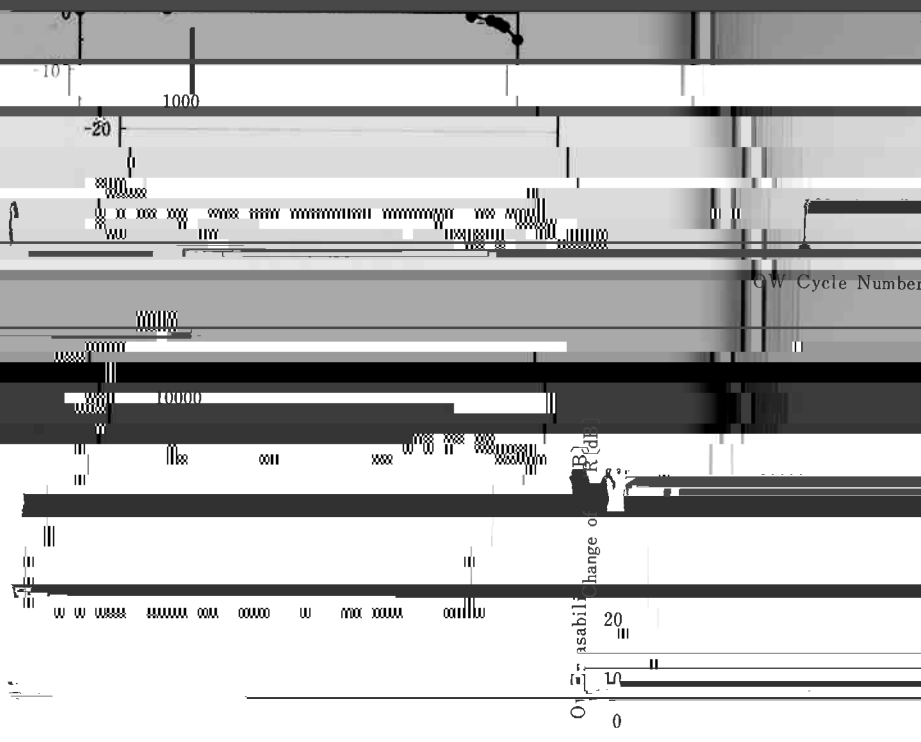


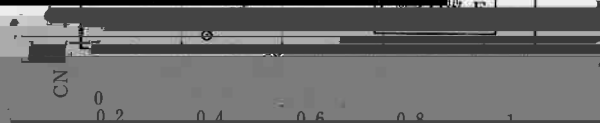
Fig. 20 Block diagram of the 60 cycle

signal (1.5T signal) and 1.4MHz signal

られるが、今後は高記録密度、高線速において消去率



の向上が開発の課題となる。



消去率の向上のみならず、記録密度の向上も必要である。

[REDACTED]

7)

8)

9)

[REDACTED]

入社 昭和61年4月1日

入社 昭和51年4月16日

所属 東京研究所

所属 東京研究所